

Supplementary figures and tables

CD34T+ humanized mouse model to study mucosal HIV-1 transmission and prevention

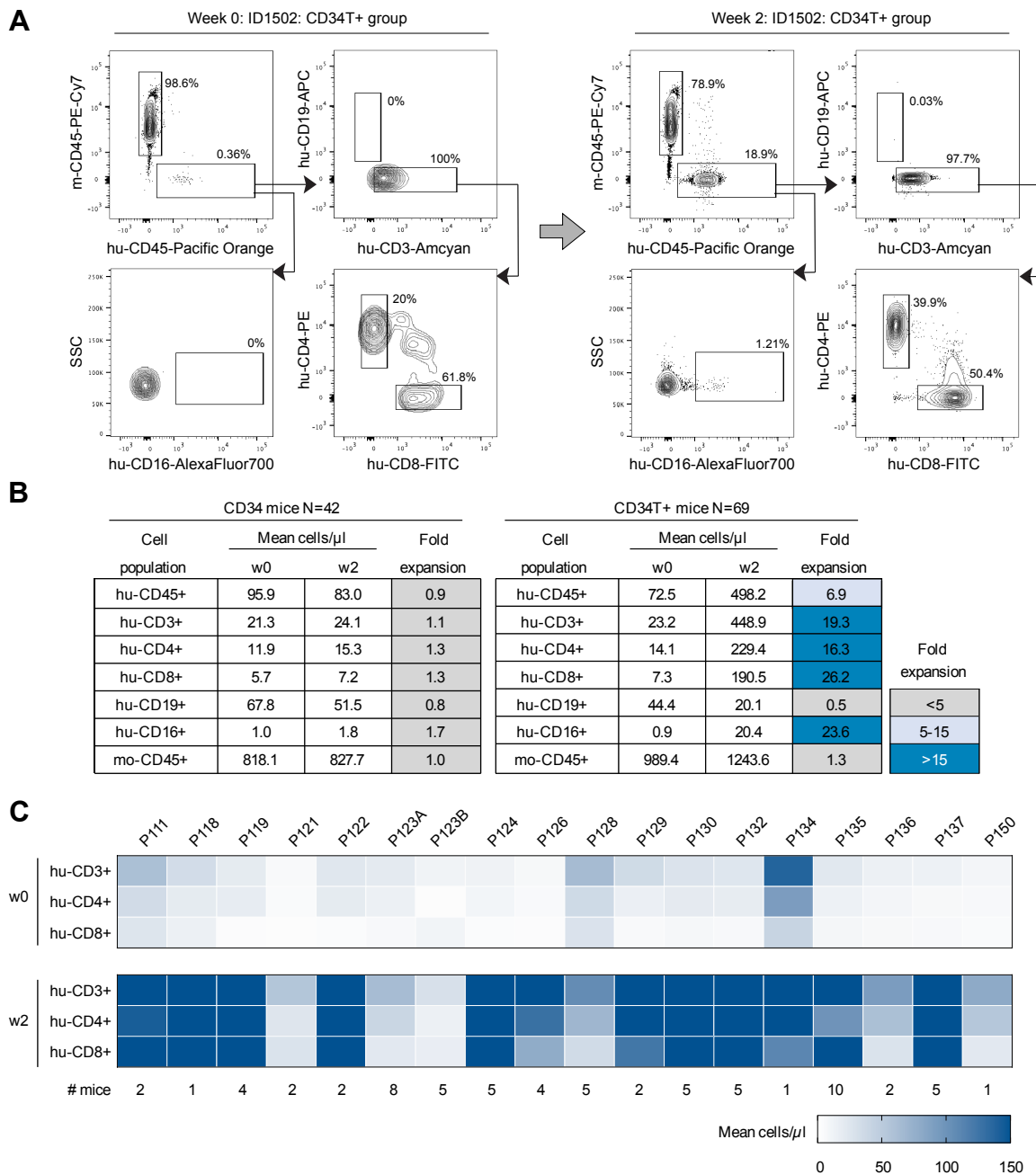
Supplementary Figures

- Supplementary Fig. 1 *Comparison of leukocyte populations in the blood of CD34 and CD34T+ mice*
Supplementary Fig. 2 *Non-humanized mice are not suitable for generating T+ mice*
Supplementary Fig. 3 *Comparison of leukocyte populations in the tissue of CD34 and CD34T+ mice*
Supplementary Fig. 4 *Sub-optimal mucosal HIV-1 infection in CD34 mice*
Supplementary Fig. 5 *Neutralization potency of bNAb tri-mix against NL4-3YU2 HIV-1*

Tables

- Supplementary Table 1 *Leukocyte cell numbers in the blood of CD34T+ mice*
Supplementary Table 2 *Leukocyte cell numbers in the blood of CD34 mice*
Supplementary Table 3 *Leukocyte cell numbers in tissue of CD34T+ and CD34 mice*

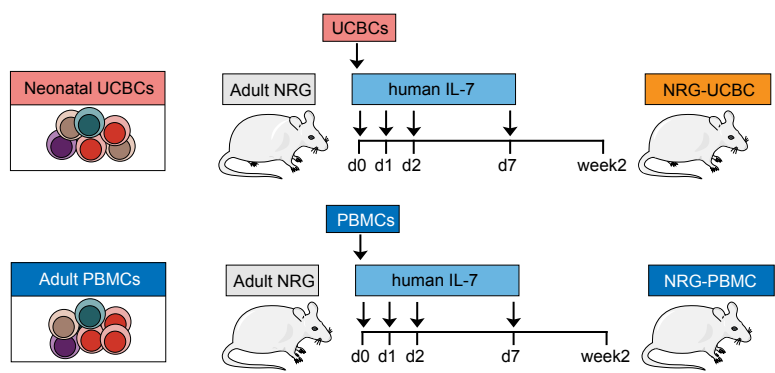
Supplementary Figure 1



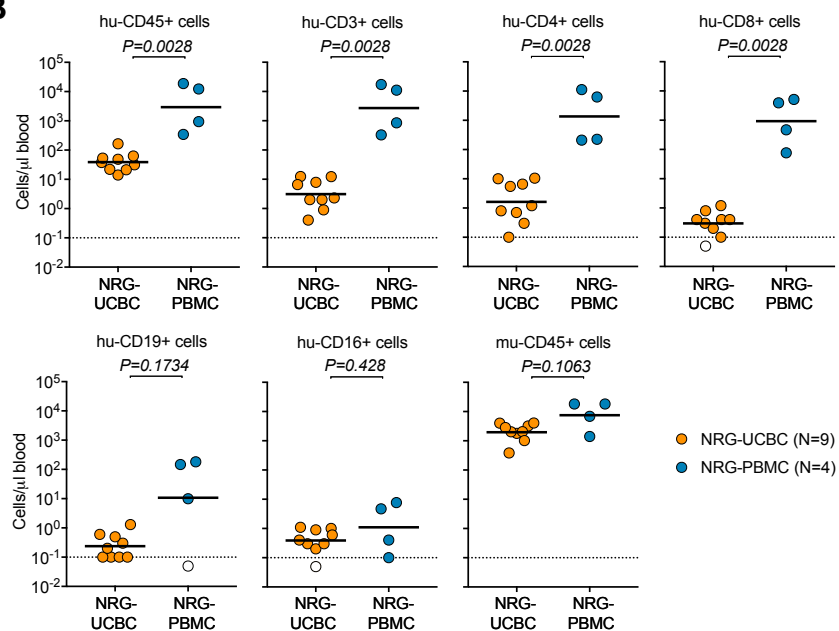
Supplementary Figure 1: Comparison of leukocyte populations in the blood of CD34 and CD34T+ mice. **A,** Gating strategy depicted with representative FACS plots from analysis of blood from a CD34T+ mouse ID1502 before (week 0) and after (week 2) UCBC and human IL-7 treatment. **B,** Mean cell numbers per μ l blood and fold change between week 0 (w0) and week 2 (w2) from CD34 and CD34T+ mice shown in Fig. 1b. **C,** Analysis of human leukocyte expansion based on mean cell numbers per μ l blood in CD34T+ mice (N=69) divided according to the cord blood donor.

Supplementary Figure 2

A



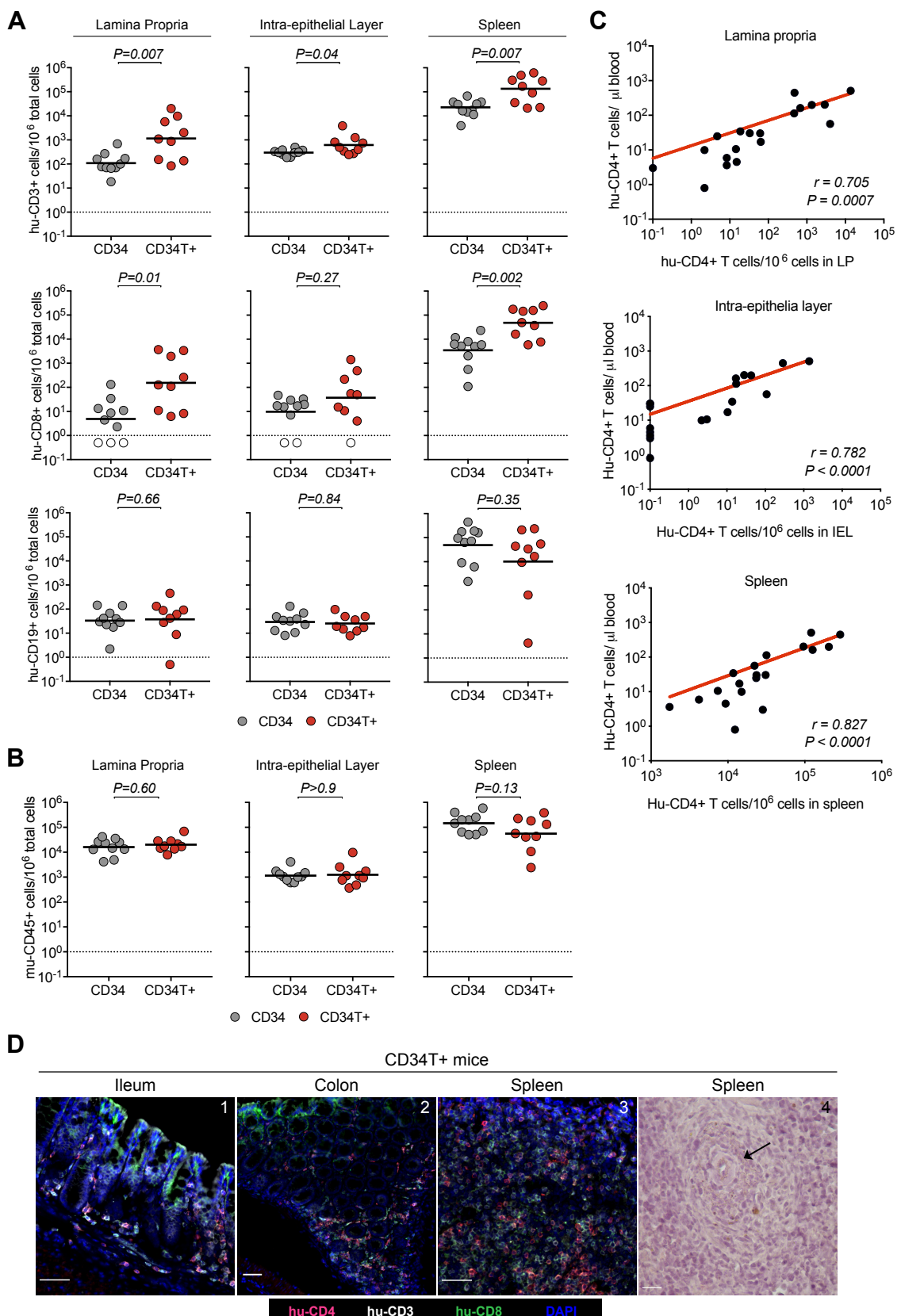
B



S2 Fig: Non-humanized mice are not suitable for generating T+ mice

A, Schematic illustration depicting the generation of NRG-UCBC and NRG-PBMC mice. Non-humanized adult NRG mice were used for injection of either UCBCs or PBMCs along with human-IL-7. NRG-UCBC mice showed low human cell engraftment rates and NRG-PBMC mice developed rapid GvHD. **B**, FACS analysis of leukocyte populations in the blood of NRG-UCBC and NRG-PBMC mice, 2 weeks after injection of cells and IL7. Points shown in white were below limit of detection of assay. Statistical analysis done using unpaired Mann-Whitney test.

Supplementary Figure 3

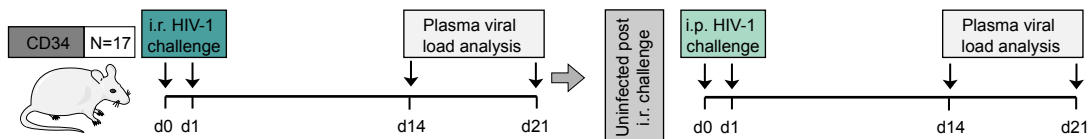


S3 Fig: Comparison of leukocyte populations in the tissue of CD34 and CD34T+ mice

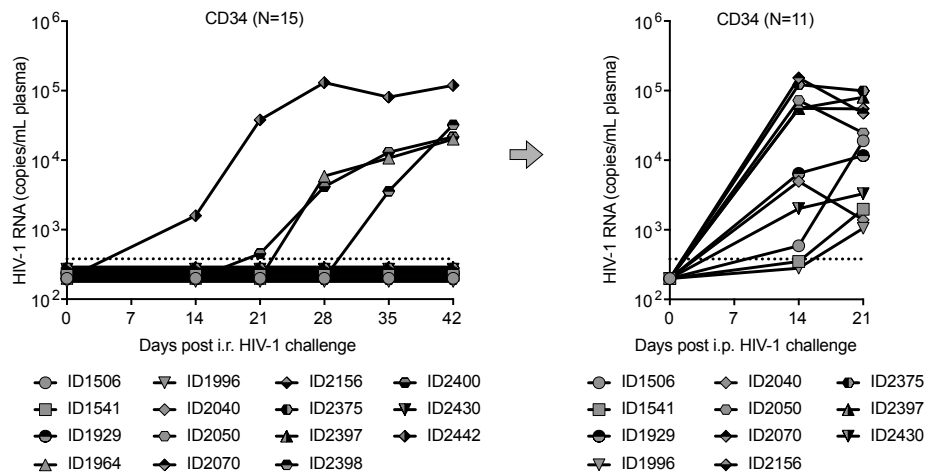
FACS analysis of CD34 and CD34T+ mice shown in Fig. 2c for the presence of human CD3+ T cell, human CD8+ T cells, human CD19+ B cells (A) and mouse CD45+ cells (B) in the gut LP, IEL and the spleen at week 2. Points shown in white were below limit of detection of assay. Statistical analysis done using an Mann-Whitney U test. C, Combined Pearson correlation curves plotted for CD34 (N=10) and CD34T+(N=9) mice to analyze the relationship between human CD4+T cell levels in the blood vs. lymphoid tissue (LP, IEL and spleen). A,B Bars depict geometric means. A,B,C Dots represent individual mice.D, Image 1-3: IF staining of human T cells in the ileum, colon and spleen of HIV-1 infected CD34T+ mouse. Human CD3+ (white), CD4+ (red), CD8+ (green) cells were labeled for detection along with DAPI for visualizing the nucleus. Scale bar is 50 μm. Image 4: Section of splenic tissue from a CD34T+ mouse stained with Haematoxylin and Eosin demonstrating the presence of a PALS-like structure (arrow). 3 mice per group and 3 tissue sections from different areas of each mouse tissue were analyzed. Representative images were selected for display.

Supplementary Figure 4

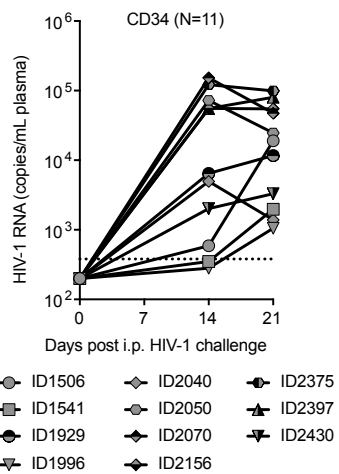
A



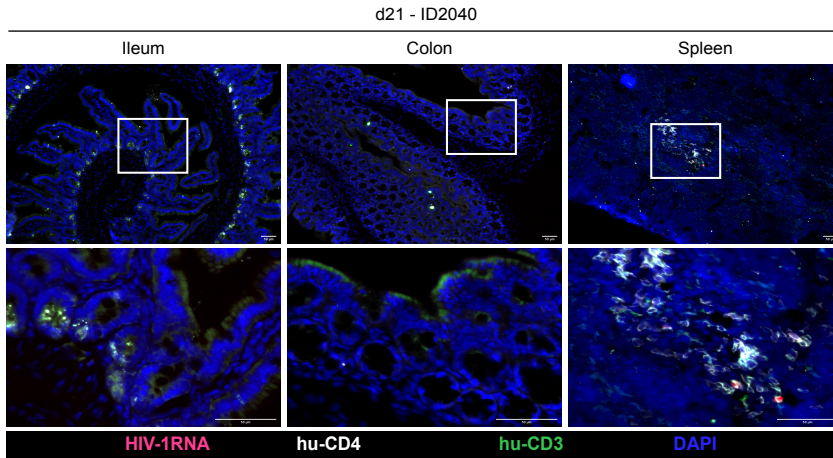
B



C



D



S4 Fig: Sub-optimal mucosal HIV-1 transmission in CD34 mice

A, Schematic representation of the experiment design. CD34 mice were given i.r. challenges with NL4-3_{YU2} HIV-1 on consecutive days and bled at the indicated time points for testing viremia. Mice that remained un-infected after i.r. challenge were challenged via i.p. injection of NL4-3_{YU2} HIV-1 to confirm susceptibility to infection. **B**, Plasma HIV-1 RNA levels in the blood of CD34 mice after i.r. challenge with high dose NL4-3_{YU2} HIV-1. **C**, Plasma HIV-1 RNA levels in CD34 mice after i.p. challenge with NL4-3_{YU2} HIV-1. The dotted line represents the detection limit of 384 HIV-1 RNA copies/ml of the assay in (b) and (c). **D**, RNA-scope-based detection of HIV-1 infection in the ileum, colon and spleen of CD34+ mice harvested at day 21 post i.p. HIV-1 challenge. HIV-1 RNA (pink), CD4+ cells (white), CD3+ cells (green) were labeled by in-situ hybridization and IF and nuclei were stained with DAPI. Scale bar is 50 µm. 3 mice per group and 3 tissue sections per mouse were analyzed. Representative images were selected for display. i.r. intra-rectal, i.p. intra-peritoneal

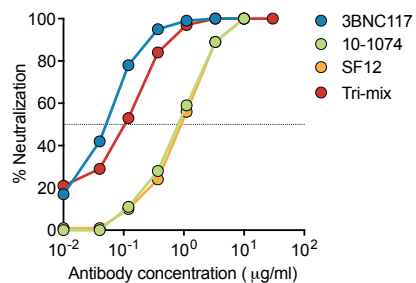
Supplementary Figure 5

A

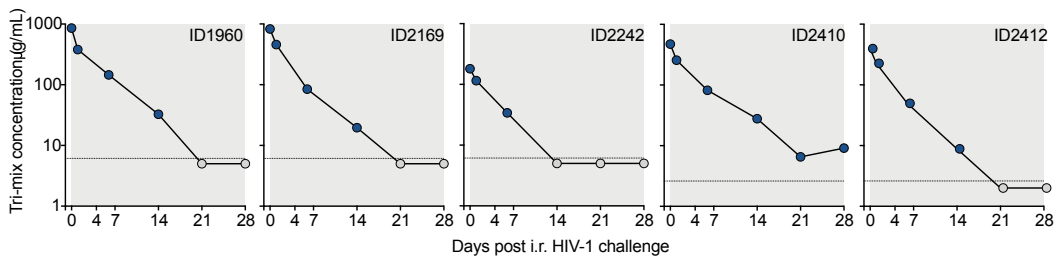
Epitope	bNAb	NL4-3 _{YU2} HIV-1		
		IC50	IC80	MPI
V3 loop	10-1074	0.812	2.426	100
CD4bs	3BNC117	0.052	0.138	100
Silent face	SF12	0.914	2.456	100
Combi.	Tri-mix	0.107	0.320	100

IC50 ($\mu\text{g/ml}$)	< 0,5	0,5 - 2,5	2,5 - 10,0	>10
MPI	90-100	50-90	25-50	0-25

B



C



D

TP	Plasma ID50 antibody levels against NL4-3 _{YU2}				
	ID1960	ID2242	ID2169	ID2410	ID2412
d0	6308	1330	6091	8155	6819
d1	2788	849	3361	4432	3901
d6	1068	250	622	1412	854
d14	240	45	144	480	152
d21	<45	<45	<45	113	<45
d28	<45	<45	<45	157	<45
d35	<45	<45	<45	<45	<45
d42	<45	<45	<45	56	<45
d55	<45	<45	<45	70	<45

E

TP	Plasma antibody levels in mice				
	ID1960	ID2242	ID2169	ID2410	ID2412
d0	857.89	180.88	828.38	472.99	395.5
d1	379.17	115.46	457.1	257.06	226.26
d6	145.25	34	84.59	81.9	49.53
d14	32.64	6.12	19.58	27.84	8.82
d21	6.12	6.12	6.12	6.55	2.61
d28	6.12	6.12	6.12	9.11	2.61
d35	6.12	6.12	6.12	2.61	2.61
d42	6.12	6.12	6.12	3.25	2.61
d55	6.12	6.12	6.12	4.06	2.61

S5 Fig: Neutralization potency of bNAb tri-mix against NL4-3_{YU2} HIV-1

A, Neutralization potency of individual bNAbs (3BNC117, 10-1074 and SF12) or an equimolar tri-mix (combi.) against the NL4-3_{YU2} HIV-1 infectious molecular clone represented as 50% inhibitory concentration (IC50) or 80% inhibitory concentration (IC80) along with the maximum percent inhibition (MPI) values. **B**, Neutralization curve of the individual bNAbs along with the tri-mix measured in (a). **C**, Antibody concentration of the tri-mix in the plasma of CD34T+ tri-mix mice from Fig. 3 measured using the TZM-bl assay. **D**, 50% Inhibitory dilution (ID50) values of the tri-mix in the plasma of CD34T+ tri-mix mice from Fig. 3 measured against the NL4-3_{YU2} HIV-1 infectious molecular clone. ID50 values at the time of i.r. HIV-1 challenge (d0 and d1) are highlighted in red and values below the detection limit of the assay are highlighted in grey. **E**, Tri-mix concentration in the plasma of CD34T+ tri-mix mice from Fig. 3 measured against the NL4-3_{YU2} HIV-1 infectious molecular clone. Values at the time of i.r. HIV-1 challenge (d0 and d1) are highlighted in red and values below the detection limit of the assay are highlighted in grey.

Supplementary Table 1. Leukocyte cell numbers in the blood of CD34T+ mice

CD34T+ mice	N=69	Number of cells/μl blood volume														<10	10-100	>100	
		hu-CD45+		hu-CD3+		hu-CD4+		hu-CD8+		hu-CD19+		hu-CD16+		m-CD45+					
Mouse ID		w0	w2	w0	w2	w0	w2	w0	w2	w0	w2	w0	w2	w0	w2				
1317	13,2	977,9	4,9	927,1	4,0	446,3	0,8	439,1	6,3	0,7	nd	nd	nd	846,6	801,9				
1320	41,3	1019,3	38,1	977,6	31,7	507,3	3,3	417,7	1,0	0,7	nd	nd	nd	876,3	3291,4				
1344	373,2	542,3	32,1	472,4	18,0	198,2	12,7	204,5	323,6	11,0	nd	nd	nd	793,1	45,1				
1550	98,1	632,7	54,8	615,6	32,7	202,0	19,1	354,6	38,4	9,2	nd	nd	nd	719,4	201,3				
1571	4,0	229,4	3,8	225,7	2,9	162,1	0,4	54,2	0,1	0,5	nd	nd	nd	652,6	981,2				
1618	0,9	22,2	0,7	21,5	0,1	9,9	0,5	8,8	0,0	0,1	nd	nd	nd	673,3	911,8				
1800	65,7	181,0	23,1	170,5	9,7	56,1	3,8	88,8	33,2	5,4	nd	nd	nd	524,1	24,0				
1551	78,5	260,0	62,9	256,2	31,9	79,8	27,1	156,8	10,6	1,7	nd	nd	nd	538,6	219,3				
1578	5,7	87,0	4,7	85,2	1,2	33,7	2,7	44,1	0,3	0,3	nd	nd	nd	1874,5	1078,5				
1614	32,2	140,4	31,9	139,1	26,3	87,9	4,2	45,4	0,0	0,0	nd	nd	nd	1329,2	2288,0				
1782	46,0	490,5	44,2	486,2	18,1	244,5	3,5	155,7	0,7	0,2	nd	nd	nd	842,1	1930,3				
1502	3,8	348,7	3,8	340,5	2,4	171,5	0,8	136,0	0,0	0,1	0,0	0,0	0,0	1052,2	1454,1				
1508	63,8	141,0	63,2	139,7	59,4	100,0	2,9	32,7	0,0	0,1	0,1	1,2	0,0	1550,3	1322,3				
1529	2,9	135,8	2,8	131,6	0,6	43,1	1,9	72,2	0,0	0,1	0,0	1,8	0,0	670,3	865,0				
1534	2,1	1039,1	2,1	1014,1	1,4	406,3	0,7	470,8	0,0	0,4	0,0	23,0	0,0	1101,6	786,0				
1539	0,5	260,9	0,4	256,1	0,1	135,3	0,2	109,3	0,0	0,0	0,0	0,0	0,0	2,8	510,3	2004,4			
1542	12,5	289,6	12,5	282,8	8,8	174,9	3,5	99,1	0,0	0,2	0,0	4,4	0,0	1239,9	2861,7				
1901	0,1	39,1	0,1	16,3	0,0	7,1	0,1	7,1	0,0	0,1	0,0	17,4	0,0	462,7	1184,8				
1915	7,5	134,9	7,5	89,9	6,0	38,8	1,5	44,4	0,0	0,2	0,0	32,0	0,0	999,0	1774,1				
2021	37,5	73,2	11,6	56,8	8,6	29,4	2,5	21,8	18,5	11,0	0,2	1,2	0,0	373,5	312,8				
2039	13,2	97,2	0,6	94,2	0,3	33,8	0,1	44,7	10,6	0,4	0,1	1,8	0,0	553,4	418,4				
2047	15,9	2065,4	9,6	2026,4	6,4	1197,6	2,1	723,4	1,8	0,0	0,9	32,2	0,0	301,3	1075,9				
1930	16,8	64,7	6,5	23,1	5,4	17,6	0,9	3,6	7,4	29,7	0,3	5,3	0,0	342,3	1122,0				
1931	50,8	164,6	29,7	117,9	22,3	81,3	6,3	31,8	14,1	35,6	2,2	7,1	0,0	547,8	764,7				
1956	43,5	41,8	4,8	8,0	2,2	3,8	2,1	3,7	33,8	21,6	0,4	1,0	0,0	2004,9	10542				
1958	36,9	44,8	10,1	19,7	7,3	13,4	2,2	5,0	22,4	19,9	0,8	2,3	0,0	1369,7	808,1				
1959	50,0	127,2	12,8	45,8	9,2	32,7	2,5	10,8	29,3	54,7	3,7	20,1	0,0	657,2	812,5				
1960	29,9	49,6	16,5	28,2	11,9	17,8	3,4	7,3	9,9	15,8	1,1	2,5	0,0	654,0	589,1				
1961	60,8	139,2	36,4	121,3	19,8	65,3	14,6	48,6	14,6	7,3	5,2	10,1	0,0	287,3	95,6				
1962	85,2	210,1	30,7	128,2	23,8	70,5	5,2	48,7	43,1	58,7	2,7	17,0	0,0	320,0	226,2				
2071	43,7	43,3	42,8	42,4	0,1	13,8	39,6	26,4	0,0	0,0	0,1	0,1	0,0	3089,6	2544,1				
2098	1,6	6,1	0,9	4,4	0,4	1,9	0,4	2,2	0,4	0,8	0,0	0,2	0,0	1153,0	1186,1				
2099	0,9	15,3	0,9	14,8	0,9	10,4	0,0	4,1	0,0	0,0	0,0	0,1	0,0	1120,4	1237,4				
2109	3,7	73,6	3,7	73,0	1,0	28,3	2,7	42,0	0,0	0,2	0,0	0,1	0,0	3764,3	5449,2				
2149	102,4	288,0	32,2	204,6	16,0	105,7	15,3	88,7	57,7	63,6	1,3	7,5	0,0	702,7	690,1				
2150	65,7	50,9	61,1	48,8	39,5	28,2	18,4	19,4	3,3	0,7	0,1	0,1	0,0	422,8	397,1				
2154	258,6	199,6	176,1	179,2	90,3	149,9	82,1	26,7	73,3	16,6	1,2	0,5	0,0	986,5	768,7				
2168	70,9	132,8	11,1	50,5	7,9	32,7	2,7	14,7	52,7	55,9	0,9	11,2	0,0	472,2	684,0				
2169	31,6	37,5	30,8	37,0	18,6	20,6	11,3	14,7	0,2	0,1	0,1	0,1	0,0	528,0	797,8				
2242	1,2	10,9	1,1	8,0	0,9	6,5	0,1	0,9	0,0	2,7	0,0	0,1	0,0	938,9	2610,6				
2372	28,7	62,4	7,6	23,8	6,0	17,1	1,4	6,1	17,7	32,6	0,4	1,7	0,0	560,2	877,8				
2381	211,7	305,5	3,8	54,2	1,2	34,4	2,5	11,0	191,6	201,5	1,4	29,5	0,0	1054,7	619,5				
2373	51,2	1924,0	48,7	1906,8	30,2	1159,6	15,3	684,5	1,4	0,4	0,5	2,0	0,0	810,4	1742,6				
2376	61,5	513,5	17,2	499,4	11,9	273,9	3,4	199,9	36,2	1,1	1,1	8,9	0,0	1263,2	542,6				
2405	282,0	444,6	49,9	278,5	41,7	167,0	7,1	105,8	211,8	127,1	3,7	20,4	0,0	610,9	249,3				
2410	55,2	146,0	54,1	143,0	41,1	35,8	8,6	101,6	0,9	0,0	0,0	0,2	0,0	1237,9	1215,2				
2412	69,5	155,1	17,8	146,1	5,6	78,7	10,4	59,6	44,9	2,5	3,4	1,2	0,0	1307,0	963,7				
2415	88,7	1101,7	81,3	1081,6	65,7	741,4	10,3	306,1	5,6	0,0	0,1	14,8	0,0	1907,1	607,1				
2417	81,0	1762,5	9,5	1634,3	7,4	949,5	1,8	595,1	63,9	5,7	0,7	69,9	0,0	876,5	551,8				
2418	159,1	4613,0	9,6	4093,2	7,0	2064,8	2,5	1769,1	136,3	29,8	0,5	388,3	0,0	1766,9	1445,9				
2419	200,7	939,5	7,0	597,8	2,3	180,7	4,3	372,7	172,1	45,3	1,0	232,0	0,0	804,3	26,4				
2422	79,3	1621,1	5,2	1489,8	2,5	892,5	2,6	476,9	70,5	3,2	0,7	91,0	0,0	1153,6	372,7				
2424	52,1	238,4	19,2	176,6	13,8	73,2	5,2	85,3	30,4	44,3	0,7	14,4	0,0	1743,1	620,6				
2425	32,6	301,6	5,4	281,9	3,4	95,4	1,3	157,8	24,9	5,6	0,2	8,7	0,0	882,2	949,5				
2426	37,7	339,9	14,5	336,0	12,2	171,0	1,1	146,1	22,1	0,3	0,1	0,6	0,0	975,7	1846,7				
2429	51,5	209,2	6,3	173,3	4,1	75,3	2,0	76,8	39,1	24,0	0,3	5,6	0,0	611,9	776,6				
2431	91,2	787,3	23,6	755,1	10,5	244,8	9,6	462,9	58,5	4,4	1,2	14,1	0,0	1010,1	824,5				
2433	285,0	384,4	6,7	246,8	1,0	75,0	2,8	138,3	262,1	75,5	2,2	49,7	0,0	722,5	94,5				
2434	563,8	409,6	58,8	235,7	20,9	62,3	27,2	157,4	482,9	154,4	4,1	11,5	0,0	541,4	45,9				
2435	60,8	322,2	5,4	263,0	3,1	64,7	2,0	182,5	50,2	49,2	0,4	6,0	0,0	1184,5	156,9				
2436	35,8	230,0	2,9	221,1	1,6	53,9	1,0	128,7	29,9	3,5	0,2	1,7	0,0	1071,0	1344,2				
2438	22,3	437,5	2,6	419,5	1,0	213,5	1,5	169,0	18,2	2,7	0,2	5,5	0,0	854,5	1775,7				
2439	12,0	215,1	4,0	200,6	2,0	117,7	1,8	63,4	6,7	0,5	0,1	7,6	0,0	1854,1	993,7				
2443	94,0	251,2	5,1	205,9	2,7	84,0	2,4	103,8	85,6	24,8	0,7	6,							

Supplementary Table 2. Leukocyte cell numbers in the blood of CD34 mice

CD34 mice	N=42	Number of cells/ μ l blood volume													
		hu-CD45+		hu-CD3+		hu-CD4+		hu-CD8+		hu-CD19+		hu-CD16+		mu-CD45+	
Mouse ID		w0	w2	w0	w2	w0	w2	w0	w2	w0	w2	w0	w2	w0	w2
1300	447,3	258,2	4,5	7,1	12,2	24,8	17,4	33,5	408,2	193,4	nd	nd	641,4	255,0	
1306	493,7	235,6	6,6	6,9	14,2	10,6	23,3	18,5	456,9	209,5	nd	nd	524,2	195,2	
1321	42,2	134,3	5,7	10,6	24,2	113,0	31,0	124,9	9,9	0,4	nd	nd	803,2	773,2	
1337	4,2	3,9	0,5	0,1	0,8	0,8	1,5	0,9	1,7	0,9	nd	nd	2340,8	3357,8	
1548	45,2	54,6	23,8	21,5	19,3	30,3	44,9	54,4	0,1	0,0	nd	nd	804,5	591,7	
1576	60,7	86,5	4,7	6,7	14,1	30,0	19,4	37,3	33,9	38,2	nd	nd	899,1	694,7	
1620	7,0	17,1	0,0	0,6	1,6	3,0	1,7	3,9	4,5	11,5	nd	nd	945,5	936,8	
1802	26,8	64,9	2,4	2,3	2,6	4,5	5,4	7,7	16,3	49,9	nd	nd	485,3	619,3	
1549	115,6	161,9	14,8	24,9	27,0	50,3	43,7	78,4	64,6	71,6	nd	nd	427,0	382,9	
1617	21,3	9,8	2,2	1,1	15,5	6,7	18,9	8,6	1,0	0,7	nd	nd	1809,4	840,0	
1619	0,3	0,6	0,1	0,3	0,1	0,2	0,3	0,6	0,0	0,0	nd	nd	1300,3	1041,1	
1803	213,3	38,6	36,9	9,4	57,5	13,9	210,2	38,2	0,7	0,1	nd	nd	381,1	1096,2	
1506	1,9	1,5	0,4	0,5	1,3	0,6	1,8	1,4	0,0	0,0	0,0	0,1	956,8	935,7	
1535	18,8	0,3	0,3	0,1	0,2	0,1	0,7	0,3	15,1	0,0	0,1	0,0	466,9	338,9	
1541	3,3	2,1	1,5	0,9	1,2	0,8	3,3	1,8	0,0	0,0	0,0	0,0	838,2	648,9	
1996	14,2	18,4	1,9	1,6	1,5	2,7	3,7	4,8	7,8	10,6	0,0	0,0	510,1	636,7	
2035	18,6	7,3	3,0	0,7	5,9	0,9	8,9	1,7	7,5	4,8	0,0	0,0	1004,8	547,8	
2040	23,2	15,2	0,4	2,7	13,4	11,1	14,7	14,6	7,6	0,5	0,1	0,1	247,8	695,7	
2044	1,7	2,4	0,1	0,2	0,3	0,2	0,4	0,5	0,9	1,0	0,0	0,1	544,6	1150,6	
2048	5,6	2,2	1,9	0,7	3,5	1,2	5,6	2,1	0,0	0,0	0,0	0,1	875,3	1518,0	
2049	74,9	20,0	4,4	2,8	63,8	16,1	74,5	19,7	0,1	0,0	0,1	0,1	617,4	1724,6	
2050	17,3	47,0	0,1	0,5	2,6	19,3	3,2	20,4	8,3	19,1	0,6	1,2	274,4	164,9	
1929	78,5	120,0	10,2	10,6	16,6	32,7	29,0	45,3	37,3	63,8	1,6	5,2	400,2	416,9	
1964	91,6	115,3	9,4	12,8	28,7	27,1	40,3	42,8	33,3	54,5	8,4	8,5	480,0	477,4	
2070	23,0	16,8	0,2	0,0	22,6	16,4	22,9	16,5	0,0	0,0	0,0	0,0	1043,7	1917,9	
2151	86,8	266,9	26,0	104,0	34,9	99,0	65,5	217,6	8,5	21,4	1,8	10,5	617,1	789,3	
2156	12,1	11,0	3,2	3,8	8,4	6,3	12,1	10,8	0,0	0,1	0,0	0,1	983,1	814,6	
2171	47,8	89,2	10,0	22,4	9,3	27,2	19,7	51,6	21,2	21,2	0,6	3,2	215,4	261,1	
2371	54,6	60,6	2,2	2,1	3,4	3,6	6,3	5,9	42,7	48,8	0,3	0,3	1123,7	852,4	
2382	115,0	112,9	5,1	7,6	2,9	5,9	9,2	14,6	90,6	80,0	1,4	2,3	612,7	473,3	
2375	158,3	133,2	1,5	1,8	15,1	7,6	17,6	10,4	127,6	110,0	2,0	2,0	1263,5	742,7	
2378	513,2	340,8	1,4	0,8	8,0	5,0	9,8	6,5	468,2	311,6	5,8	6,9	521,0	329,6	
2397	297,6	308,7	3,9	3,9	3,7	6,0	9,0	11,2	264,7	272,6	1,7	4,5	864,1	858,5	
2398	132,0	208,5	3,1	3,0	5,8	13,3	10,3	17,5	111,6	171,7	0,6	3,8	1215,0	876,2	
2400	247,1	284,7	4,2	2,2	4,1	15,7	9,4	19,4	213,9	237,1	2,0	4,5	1180,1	693,8	
2421	50,4	26,8	10,4	11,4	8,5	9,5	21,1	22,9	26,2	2,0	1,2	0,1	695,1	1313,5	
2430	70,4	72,1	7,8	4,1	5,9	6,4	13,7	10,9	50,8	53,0	0,3	1,0	610,8	986,5	
2442	234,5	33,9	11,1	6,6	14,8	10,0	27,0	18,8	189,3	13,3	1,4	0,3	739,4	1138,2	
2549	47,4	31,2	2,0	2,1	11,2	10,1	13,6	12,2	29,6	17,8	0,3	0,1	556,2	660,9	
2550	84,7	84,6	0,3	1,0	0,6	0,4	1,2	1,8	78,6	79,1	0,9	1,0	1022,1	665,6	
2573	3,9	4,5	1,7	2,2	1,0	1,5	2,8	4,3	0,6	0,0	0,0	0,0	1083,7	1105,9	
2647	22,4	18,2	8,3	5,2	10,3	10,4	20,2	16,5	1,2	1,0	0,2	0,1	1433,4	501,7	

Supplementary Table 3. Leukocyte cell numbers in tissue of CD34T+ and CD34 mice

No. of cells/ 10^6 cells in lamina propria at w2						
Model	Mouse ID	hu-CD3+	hu-CD4+	hu-CD8+	hu-CD19+	mu-CD45+
CD34	1306	267.6	14.4	34.5	141.0	12975.0
CD34	1321	688.6	468.6	131.5	145.8	4915.8
CD34	1300	70.0	4.7	0.0	39.7	4167.8
CD34	1337	99.3	2.2	11.0	17.7	24507.5
CD34	1576	171.0	61.4	13.2	67.9	26189.6
CD34	1802	77.3	15.0	8.6	27.9	23331.0
CD34	1548	70.3	33.0	4.4	2.2	35584.3
CD34	1620	18.3	0.0	2.3	29.8	14469.8
CD34	2371	159.4	8.3	0.0	22.8	41694.4
CD34	2382	66.8	8.3	0.0	41.7	13228.6
CD34T+	1344	2003.4	1343.6	260.0	91.8	14545.6
CD34T+	1317	868.3	477.4	126.2	131.1	7876.1
CD34T+	1320	20039.9	13773.5	3346.8	453.1	68751.0
CD34T+	1550	5709.2	2911.0	1937.1	60.7	21496.3
CD34T+	1800	9681.3	4027.8	3662.0	27.8	17683.4
CD34T+	1571	1099.5	675.1	109.9	88.0	27717.9
CD34T+	1618	83.9	2.2	11.0	8.8	16987.1
CD34T+	2372	135.7	63.7	8.2	0.0	28134.8
CD34T+	2381	151.8	18.7	6.2	41.6	13640.2

No. of cells/ 10^6 cells in intra-epithelium at w2						
Model	Mouse ID	hu-CD3+	hu-CD4+	hu-CD8+	hu-CD19+	mu-CD45+
CD34	1306	330.6	3.0	33.4	48.5	1052.5
CD34	1321	250.5	17.6	7.1	31.7	1710.9
CD34	1300	192.0	0.0	15.6	131.7	1049.5
CD34	1337	372.1	0.0	29.3	69.9	4124.7
CD34	1576	495.3	0.0	47.0	34.2	602.0
CD34	1802	296.8	0.0	17.2	38.7	600.0
CD34	1548	293.1	0.0	19.3	12.8	1320.2
CD34	1620	186.0	0.0	17.1	10.7	1490.0
CD34	2371	386.3	0.0	0.0	23.3	1001.9
CD34	2382	307.2	0.0	0.0	8.1	767.9
CD34T+	1344	271.1	42.9	54.2	49.9	368.7
CD34T+	1317	1249.4	286.5	217.0	35.8	1727.7
CD34T+	1320	3835.9	1390.1	1419.7	97.3	9749.5
CD34T+	1550	341.0	28.2	50.0	50.0	480.0
CD34T+	1800	813.0	108.0	489.1	14.8	2536.5
CD34T+	1571	403.7	17.2	10.7	19.3	1140.2
CD34T+	1618	244.8	2.2	15.2	17.3	1148.0
CD34T+	2372	490.0	10.4	0.0	12.5	942.4
CD34T+	2381	739.6	13.8	4.0	7.9	765.3

No. of cells/ 10^6 cells in spleen at w2						
Model	Mouse ID	hu-CD3+	hu-CD4+	hu-CD8+	hu-CD19+	mu-CD45+
CD34	1306	17114.5	7374.7	8082.3	161409.3	71989.1
CD34	1321	37657.2	31768.0	4971.5	6183.5	196772.1
CD34	1300	37727.8	23376.3	11706.6	443152.9	51384.4
CD34	1337	14563.5	12353.1	109.0	9113.9	588010.9
CD34	1576	30366.1	23547.6	5864.8	62731.9	251566.1
CD34	1802	16274.3	9329.9	5225.0	175796.5	399541.0
CD34	1548	67005.2	30973.4	23273.6	1525.3	145455.2
CD34	1620	31461.8	28440.5	555.1	71886.5	199539.6
CD34	2371	3950.1	1743.0	2049.7	94541.7	64010.2
CD34	2382	11367.4	4194.6	6204.8	187007.0	51005.0
CD34T+	1344	484012.0	205888.7	175039.3	210726.7	10652.7
CD34T+	1317	616356.2	289125.8	246492.7	34099.6	181182.1
CD34T+	1320	305262.1	120994.2	145051.5	417.8	131654.6
CD34T+	1550	285604.5	96094.8	157161.2	43804.5	55971.5
CD34T+	1800	90674.1	22217.6	49175.3	9393.8	2396.4
CD34T+	1571	169227.4	126501.9	37091.7	16658.4	224019.2
CD34T+	1618	35639.5	15070.2	16173.8	4.2	380874.6
CD34T+	2372	22477.2	14118.3	7700.5	55236.5	43175.4
CD34T+	2381	21337.2	11751.2	5853.4	236240.1	40745.5